

Zeitschrift: Bericht der Eidgenössischen Kommission zur Überwachung der Radioaktivität
Herausgeber: Eidgenössische Kommission zur Überwachung der Radioaktivität
Band: 17 (1973)
Anhang: [Abbildungen = Images]

Nutzungsbedingungen

Die ETH-Bibliothek ist die Anbieterin der digitalisierten Zeitschriften. Sie besitzt keine Urheberrechte an den Zeitschriften und ist nicht verantwortlich für deren Inhalte. Die Rechte liegen in der Regel bei den Herausgebern beziehungsweise den externen Rechteinhabern. [Siehe Rechtliche Hinweise.](#)

Conditions d'utilisation

L'ETH Library est le fournisseur des revues numérisées. Elle ne détient aucun droit d'auteur sur les revues et n'est pas responsable de leur contenu. En règle générale, les droits sont détenus par les éditeurs ou les détenteurs de droits externes. [Voir Informations légales.](#)

Terms of use

The ETH Library is the provider of the digitised journals. It does not own any copyrights to the journals and is not responsible for their content. The rights usually lie with the publishers or the external rights holders. [See Legal notice.](#)

Download PDF: 26.11.2024

ETH-Bibliothek Zürich, E-Periodica, <https://www.e-periodica.ch>

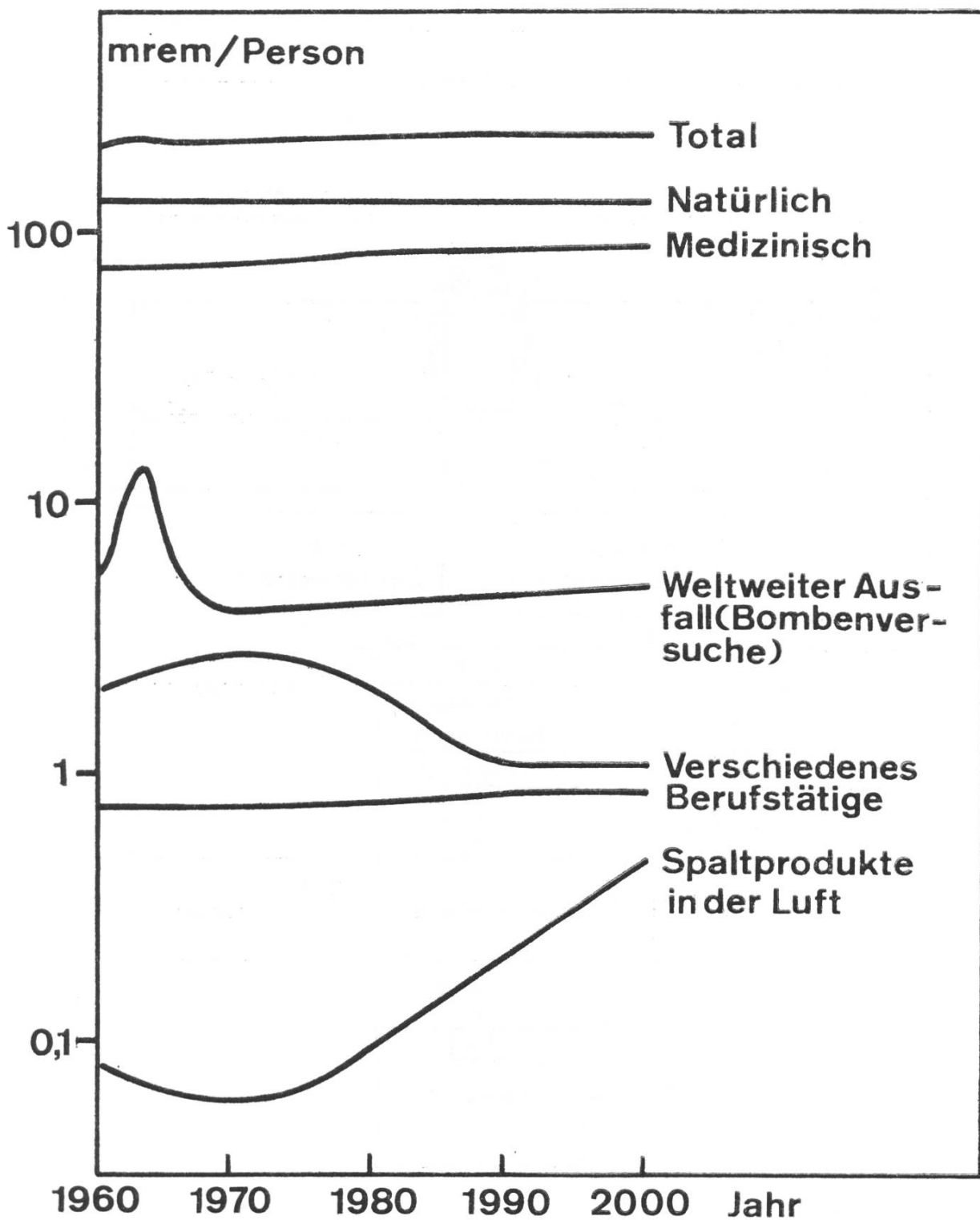


Fig. 1. Geschätzte mittlere Ganzkörperäquivalentdosen in den USA, aus (2)

Fig. 1. Estimation des doses moyennes du corps entier aux Etats Unis, prise de (2)

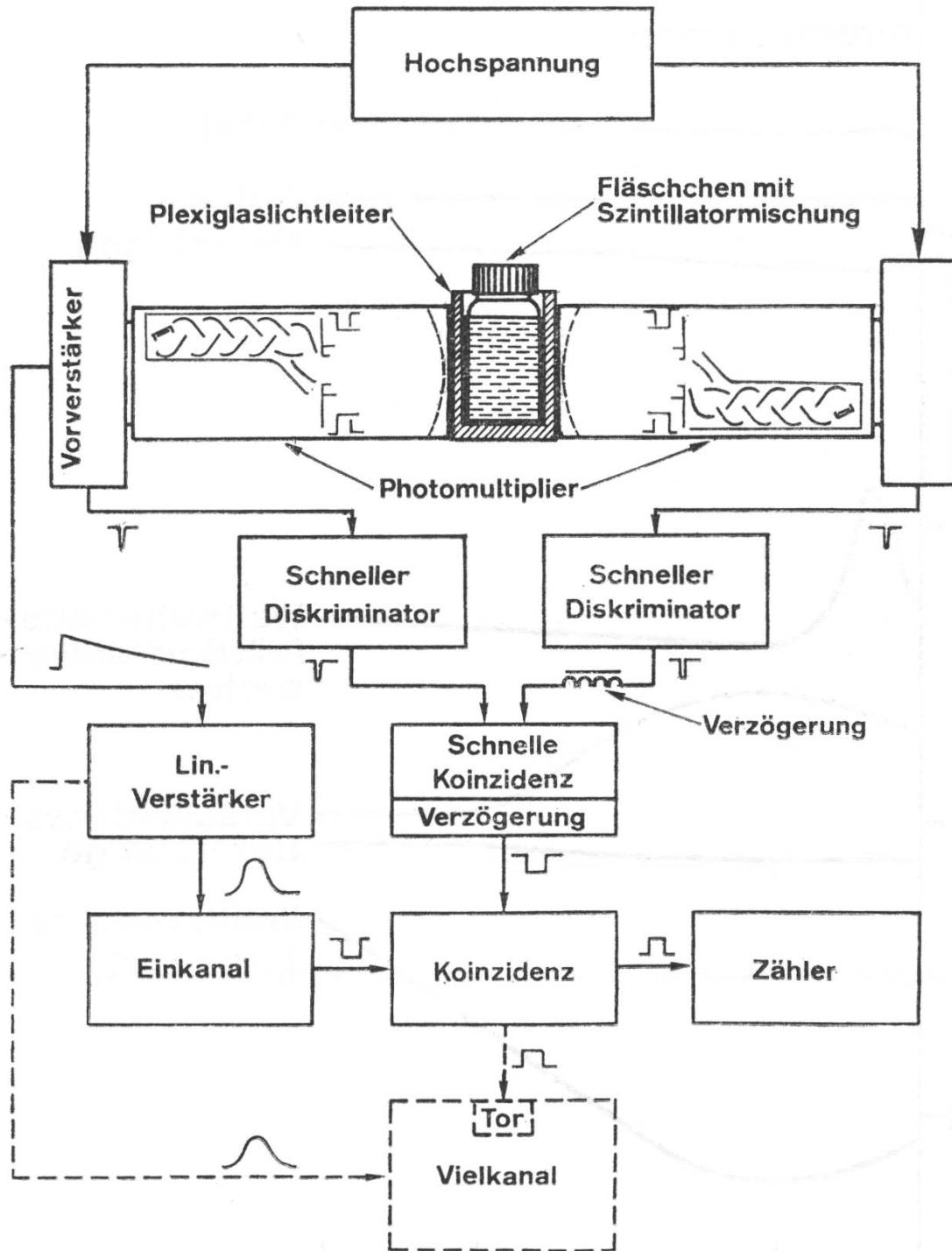


Fig. 2. Koinzidenzapparatur zur Tritiumaktivitätsmessung

Fig. 2. Appareillage de coïncidence pour la mesure de l'activité tritium

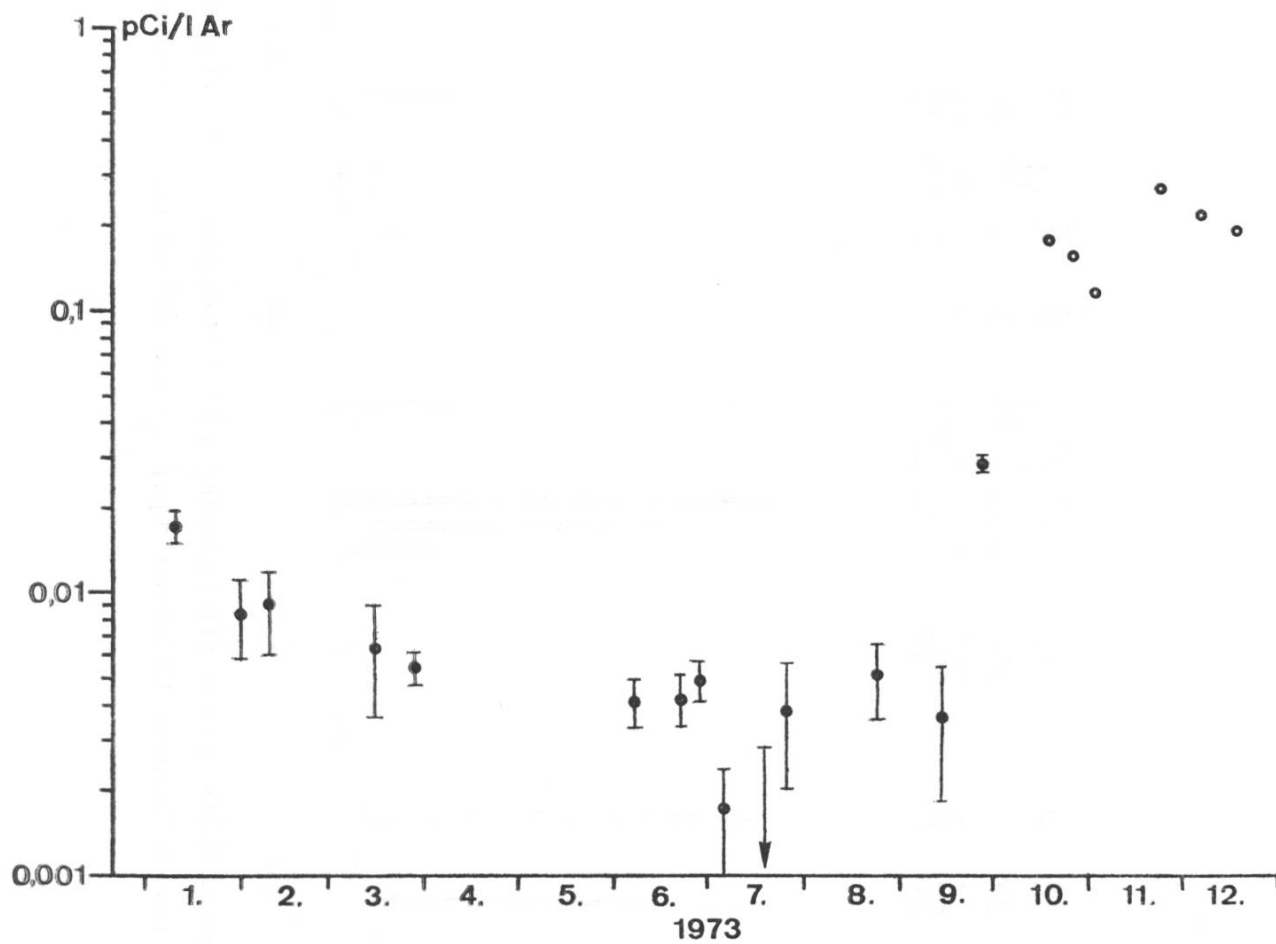


Fig. 3. Ar-37 in der Luft von Bern

Fig. 3. Ar-37 de l'air à Berne

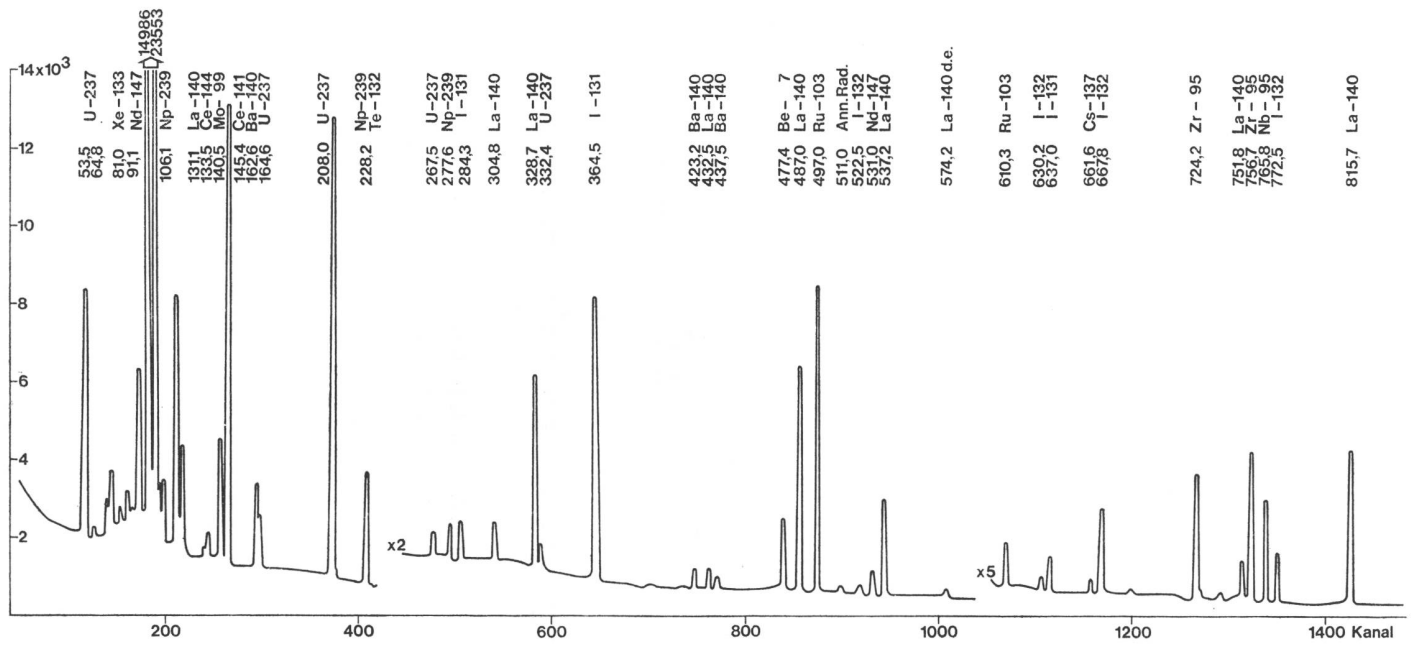


Fig. 4. Gammaspektrum einer Luftprobe aus 12 500 m Höhe (Tropopause bei 10 200 m), gesammelt und gemessen am 17. 7. 73

Fig. 4. Spectre gamma d'un échantillon d'air de l'altitude 12 500 m (tropopause à 10 200 m), collecté et mesuré le 17. 7. 73

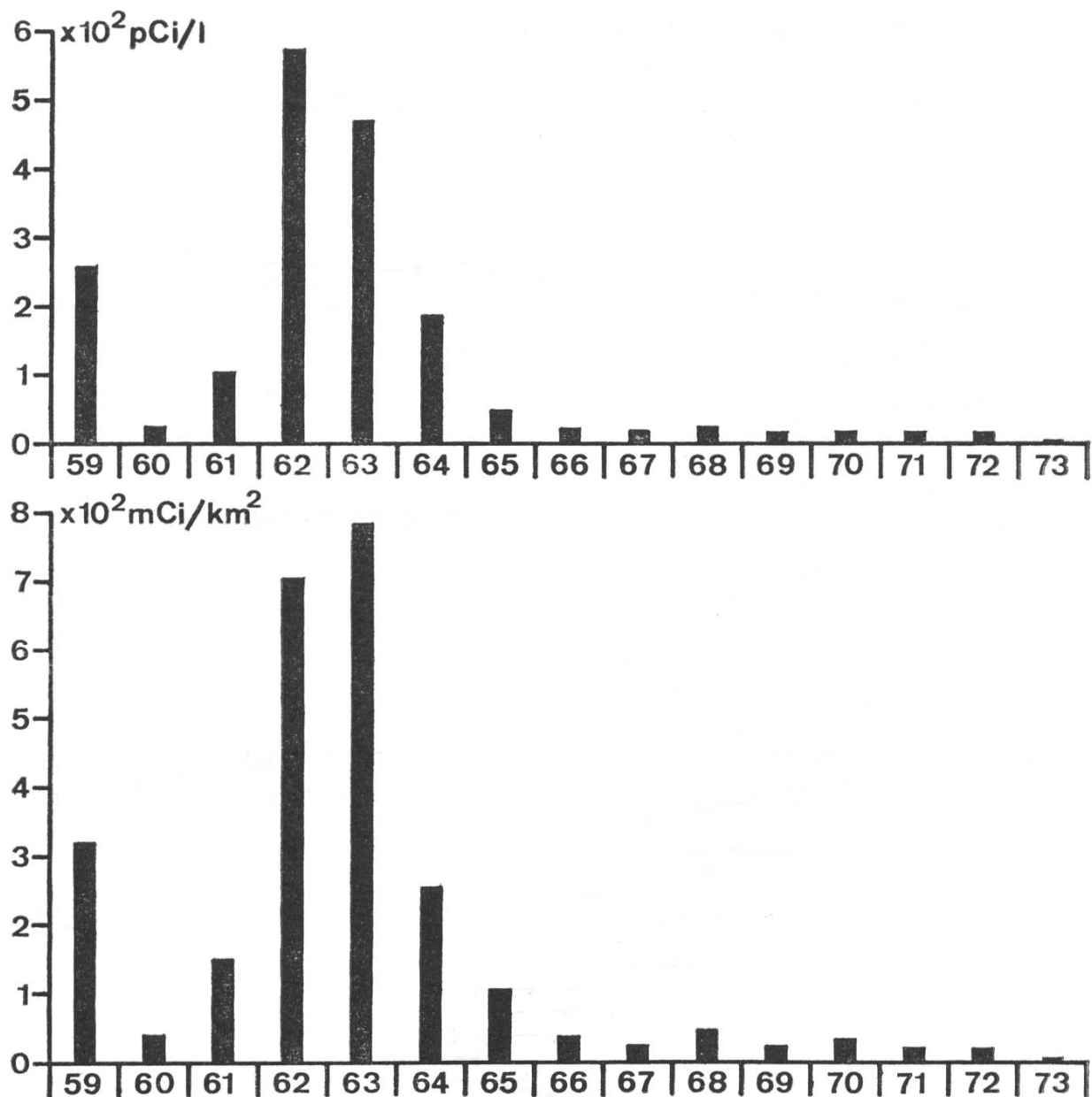


Fig. 6. Jahresmittel der Betaaktivität des Regenwassers (oben) und jährliche, dem Erdboden durch Niederschlag zugeführte Betaaktivität pro km^2 Bodenfläche (unten) für die Messstelle La Valsainte, 1959 bis 1973

Fig. 6. Moyenne annuelle de l'activité bêta de l'eau de précipitations (en haut) et activité bêta déposée annuellement par km^2 au sol par les précipitations (en bas) pour la station de la Valsainte, de 1959 à 1973

350 nCi/kg TS

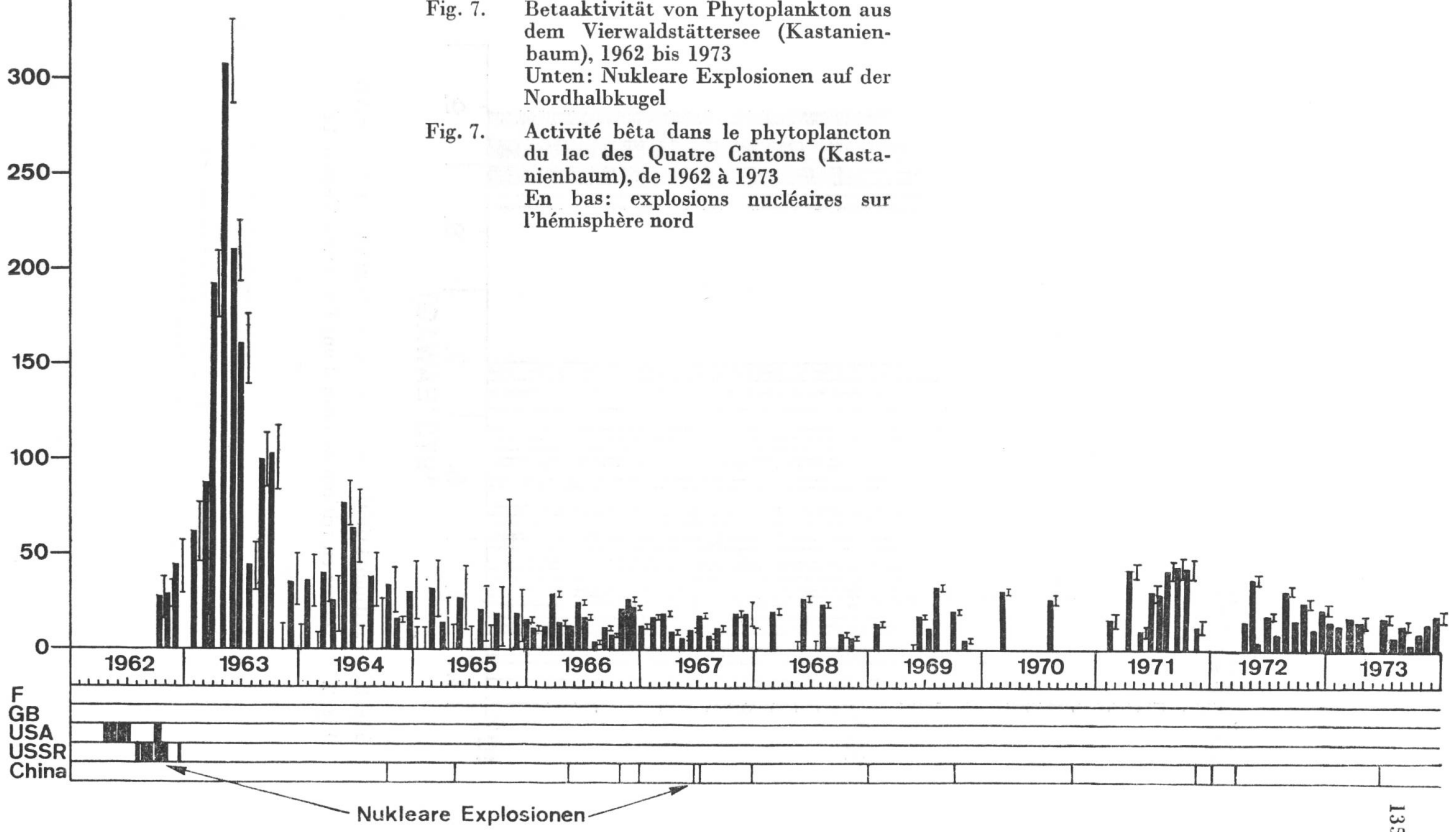


Fig. 7. Betaaktivität von Phytoplankton aus dem Vierwaldstättersee (Kastanienbaum), 1962 bis 1973
Unten: Nukleare Explosionen auf der Nordhalbkugel

Fig. 7. Activité bêta dans le phytoplancton du lac des Quatre Cantons (Kastanienbaum), de 1962 à 1973
En bas: explosions nucléaires sur l'hémisphère nord

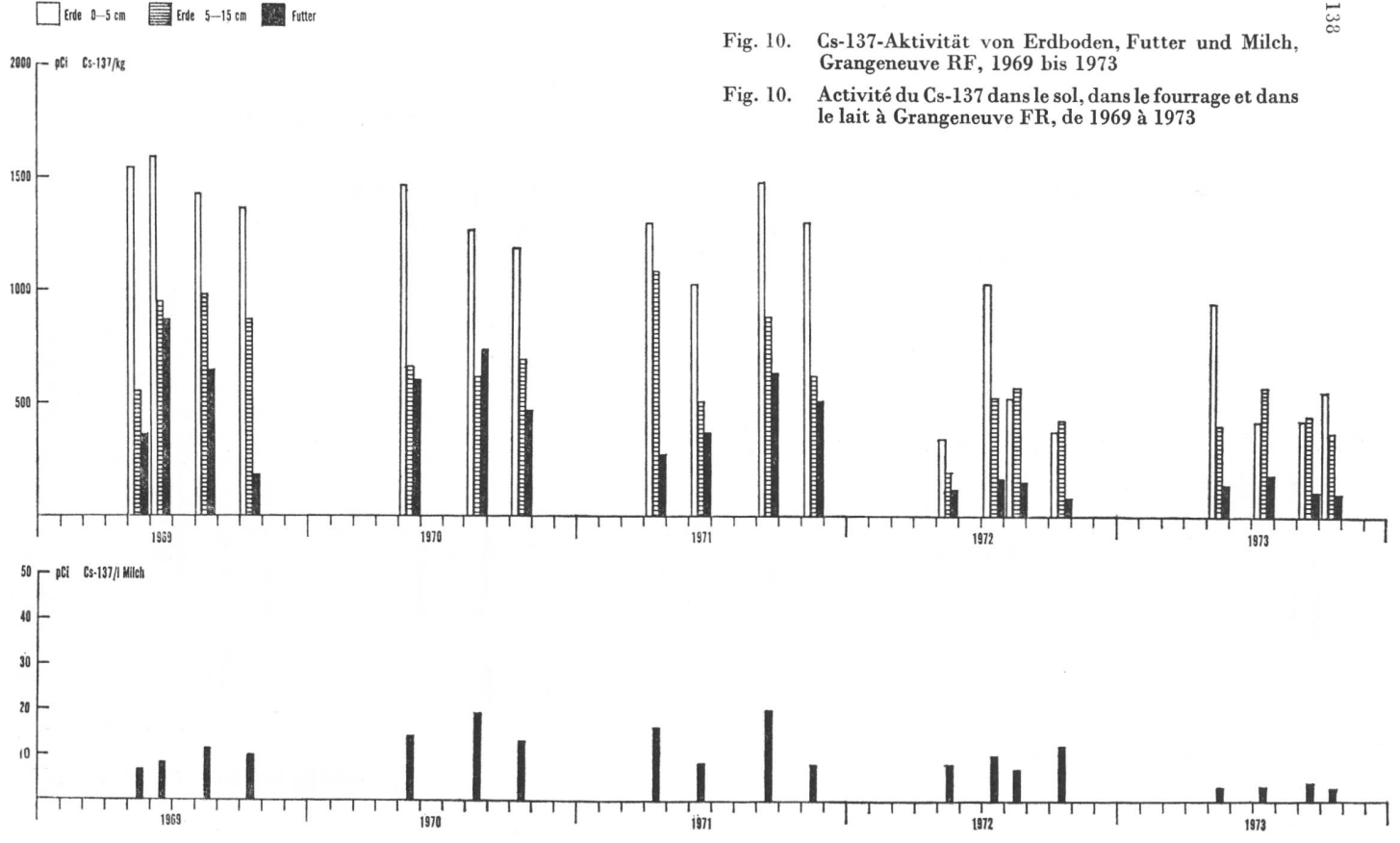


Fig. 10. Cs-137-Aktivität von Erdboden, Futter und Milch, Grangeneuve RF, 1969 bis 1973

Fig. 10. Activité du Cs-137 dans le sol, dans le fourrage et dans le lait à Grangeneuve FR, de 1969 à 1973

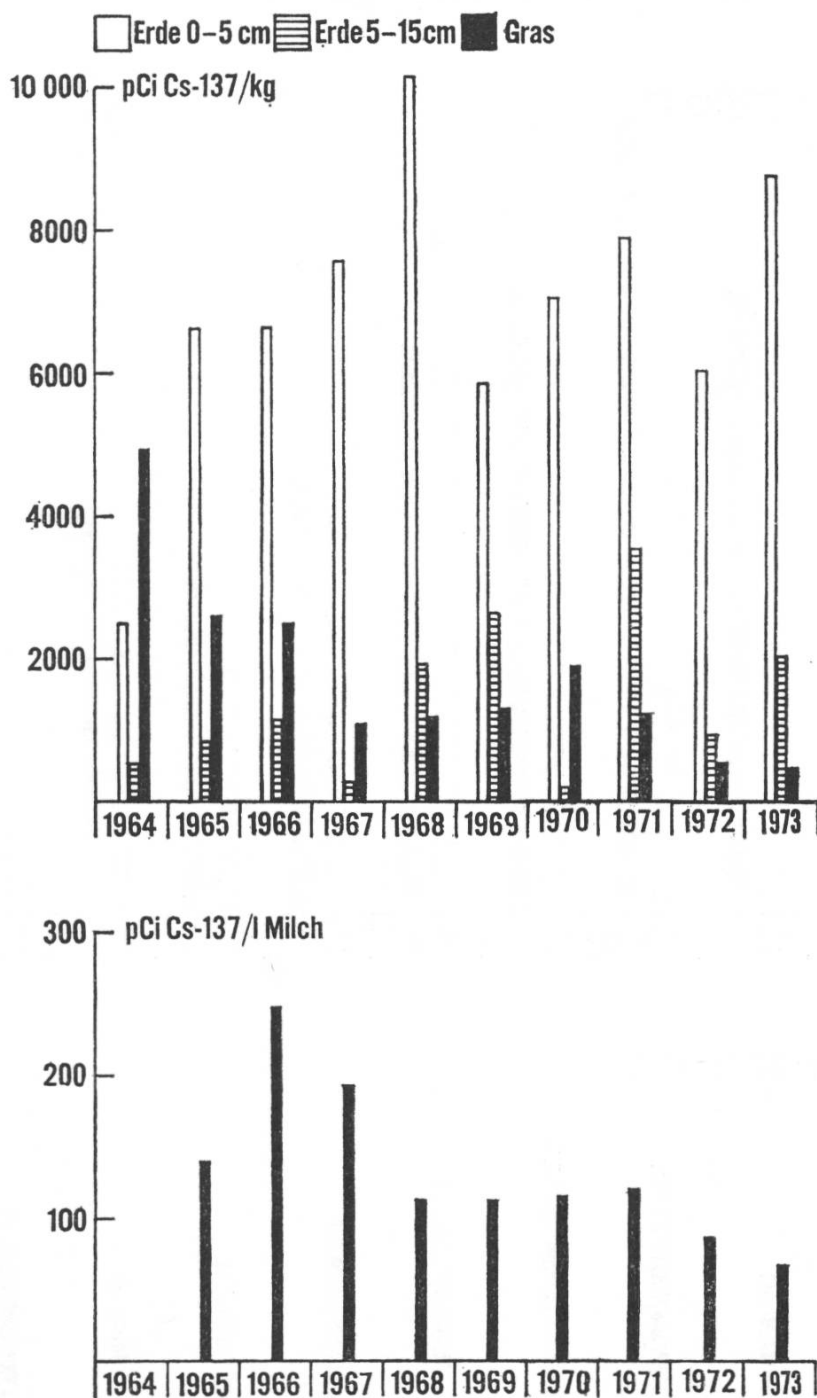


Fig. 11. Cs-137-Aktivität von Erdboden, Gras und Milch, Davos-Stillberg, 1964 bis 1973

Fig. 11. Activité du Cs-137 dans le sol, dans l'herbe et dans le lait à Davos-Stillberg, de 1964 à 1973

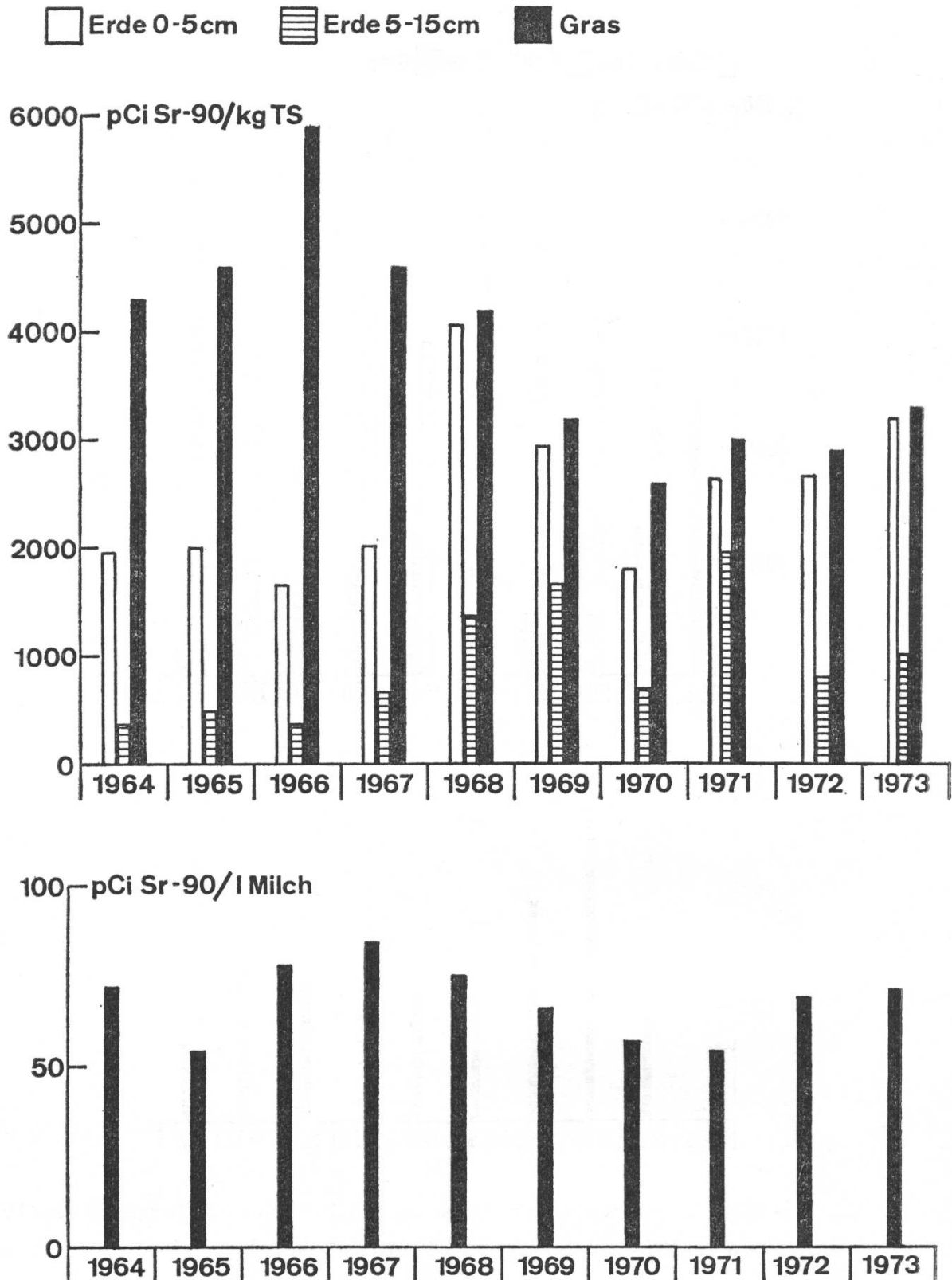


Fig. 12. Sr-90-Aktivität von Erdboden, Gras und Milch, Davos-Stillberg, 1964 bis 1973

Fig. 12. Activité du Sr-90 dans le sol, dans l'herbe et dans le lait à Davos-Stillberg, de 1964 à 1973

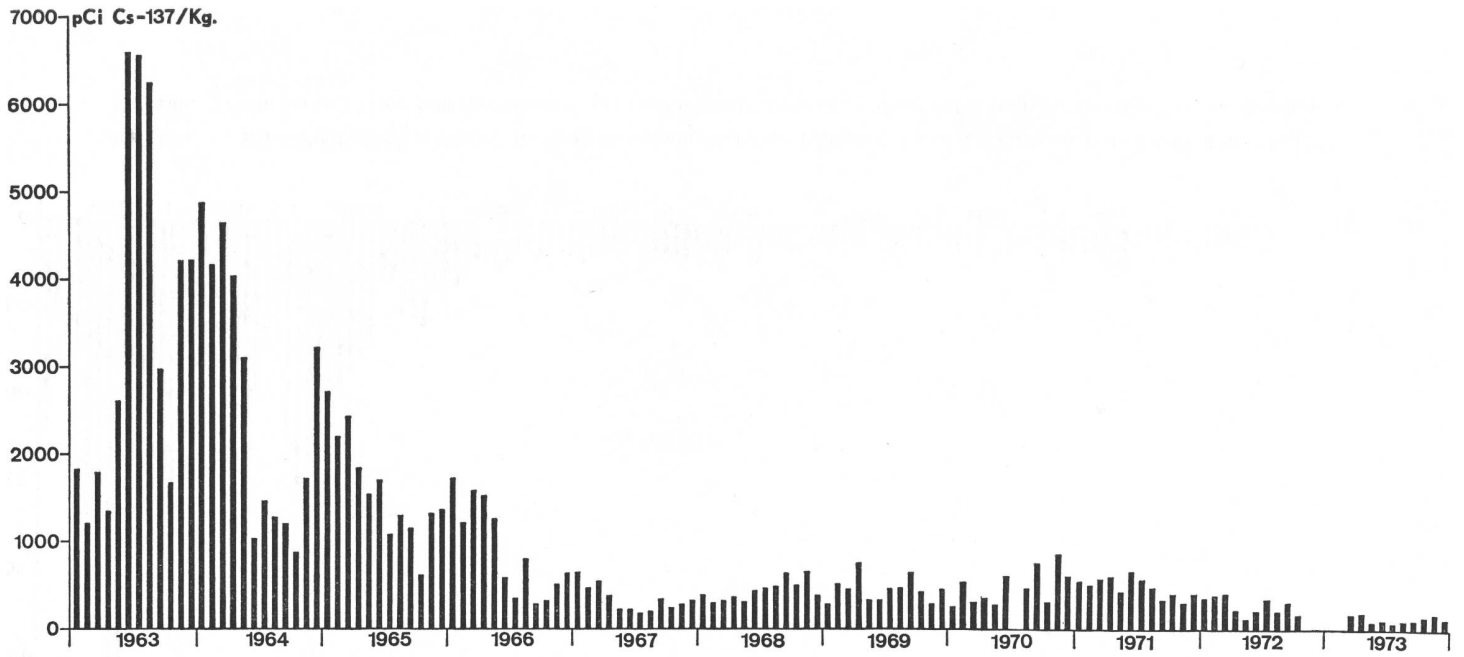


Fig. 13a. Cs-137-Gehalt von Viehfutter (monatliche Probenahme), Ostschweiz, 1963 bis 1973

Fig. 13a. Teneur en Cs-137 du fourrage (prélèvement mensuel d'échantillons), Suisse orientale, de 1963 à 1973

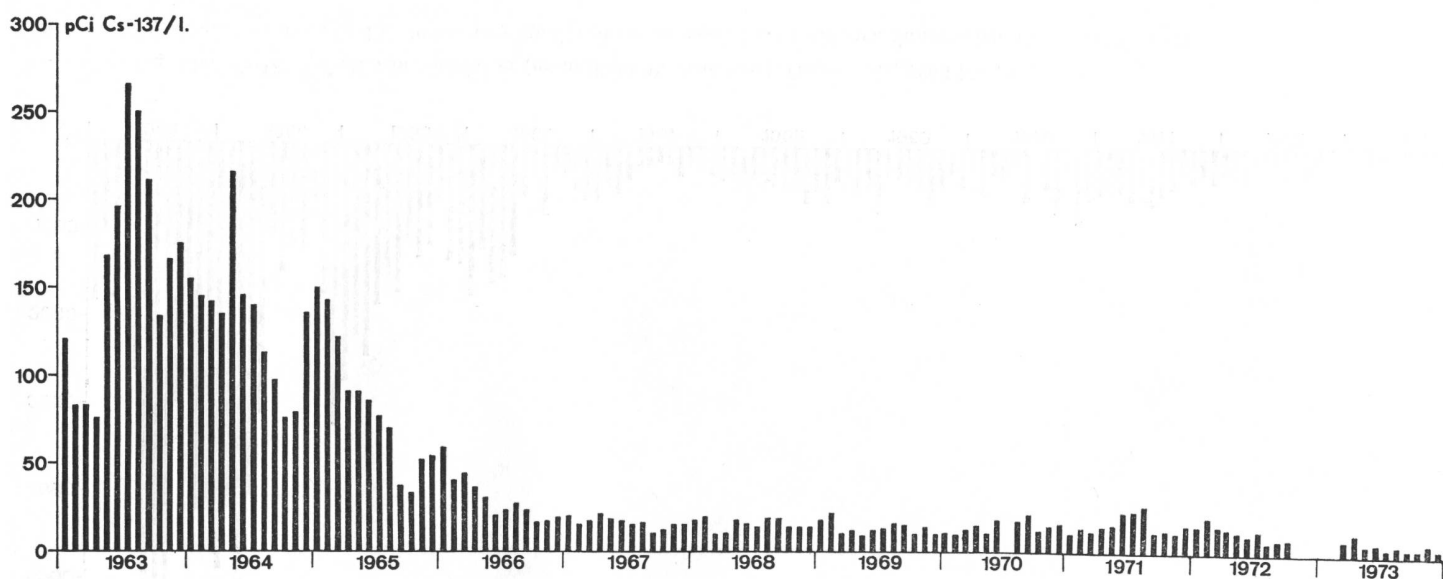


Fig. 13b. Cs-137-Gehalt von Milch (monatliche Probenahme zwei Tage nach derjenigen des Futters), Ostschweiz, 1963 bis 1973
Fig. 13b. Teneur en Cs-137 du lait (prélèvement mensuel d'échantillons deux jours après celui du fourrage), Suisse orientale, de 1963 à 1973

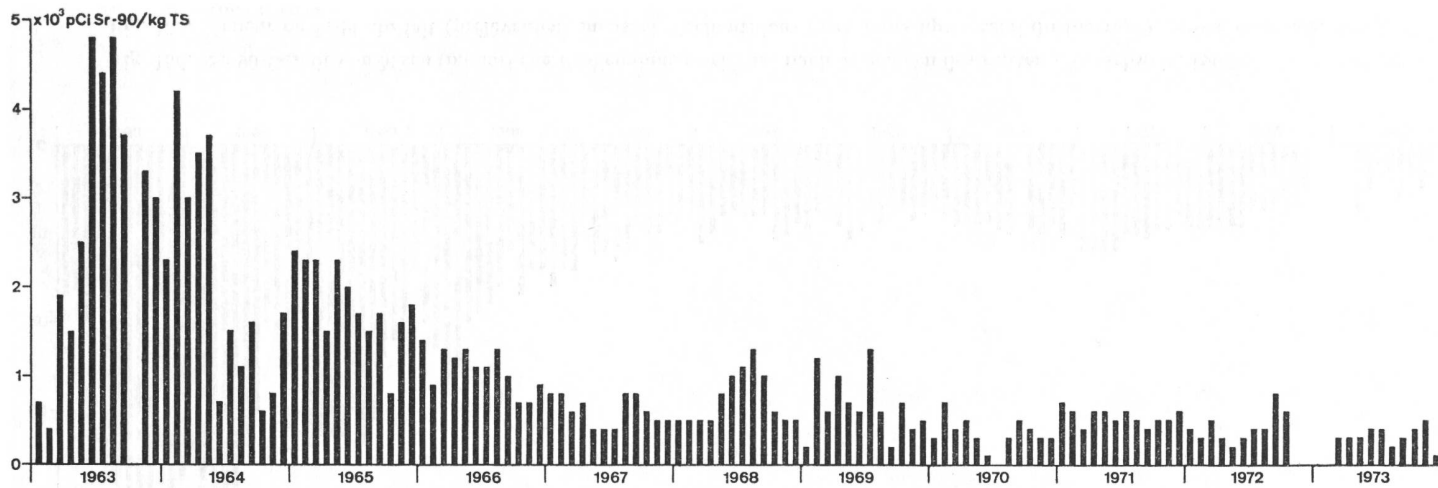


Fig. 13c. Sr-90-Gehalt von Viehfutter (monatliche Probenahme), Ostschweiz, 1963 bis 1973

Fig. 13c. Teneur en Sr-90 du fourrage (prélèvement mensuel d'échantillons), Suisse orientale, de 1963 à 1973

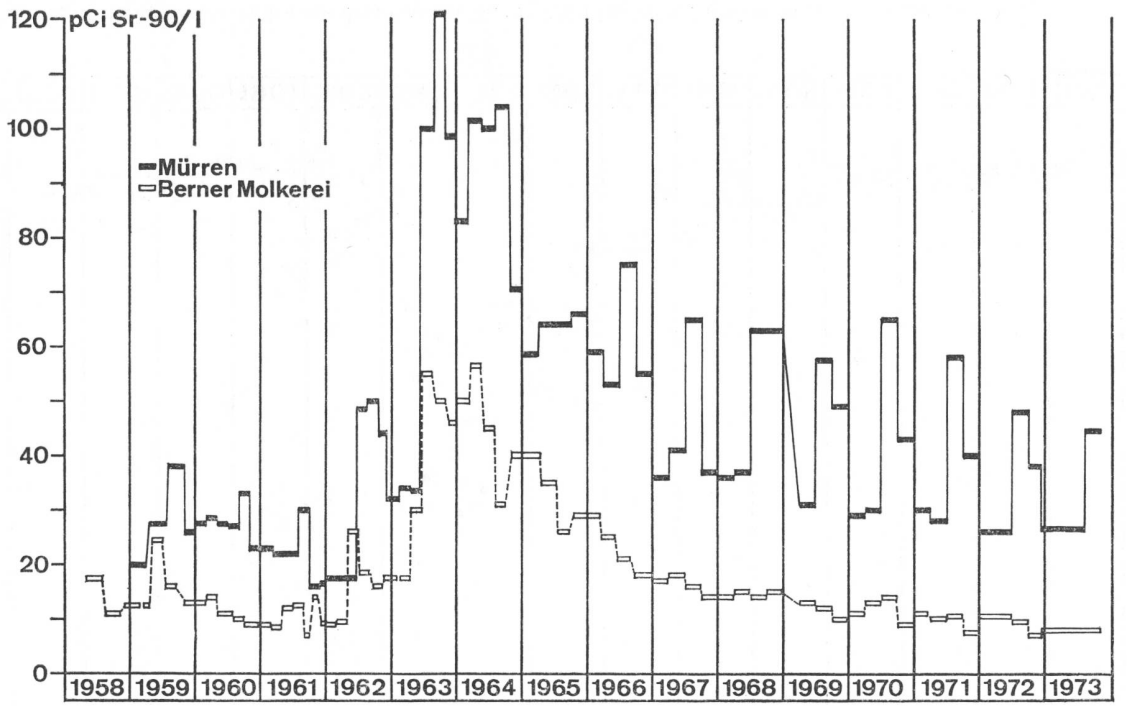


Fig. 14. Sr-90-Aktivität von Frischmilch aus dem Flachland (Bern, 540 m) und aus einer Höhenlage (Mürren, 1650 m) für die Jahre 1958 bis 1973

Fig. 14. Activité du Sr-90 dans le lait frais de plaine (Berne, 540 m) et de montagne (Mürren, 1650 m) pour les années 1958 à 1973

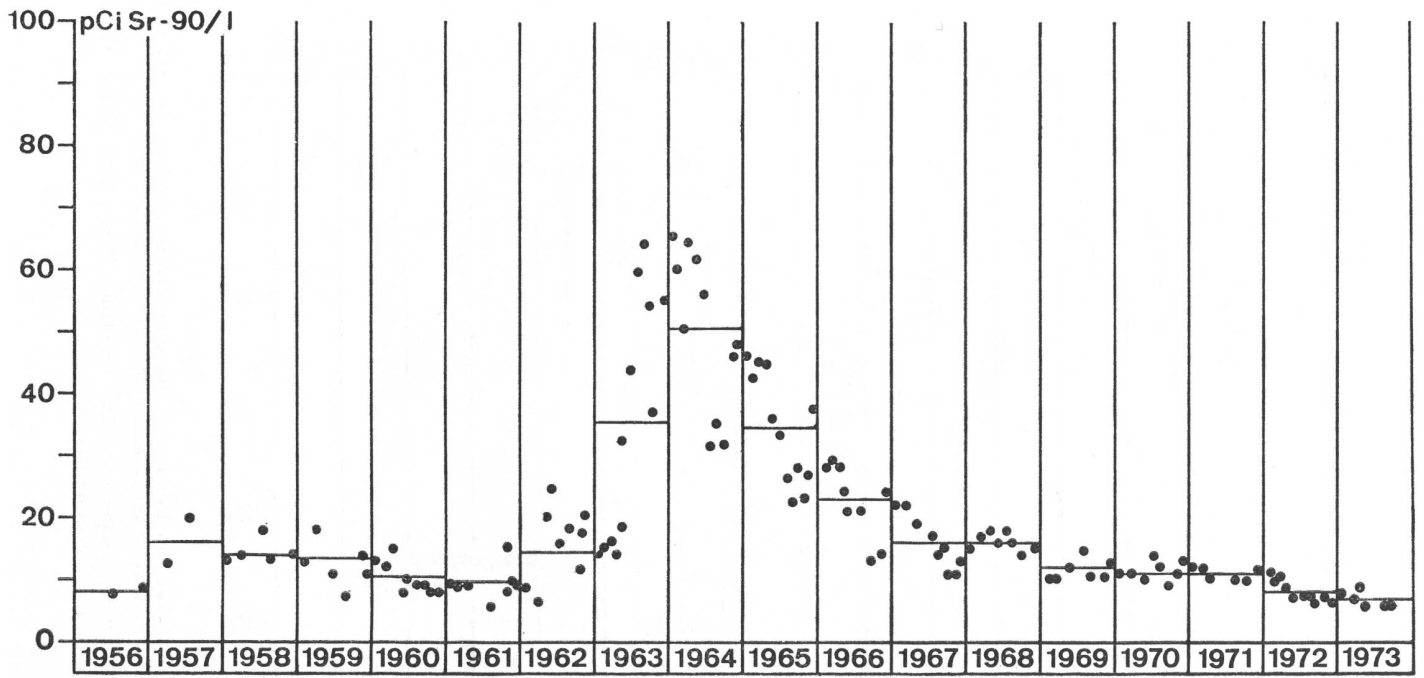
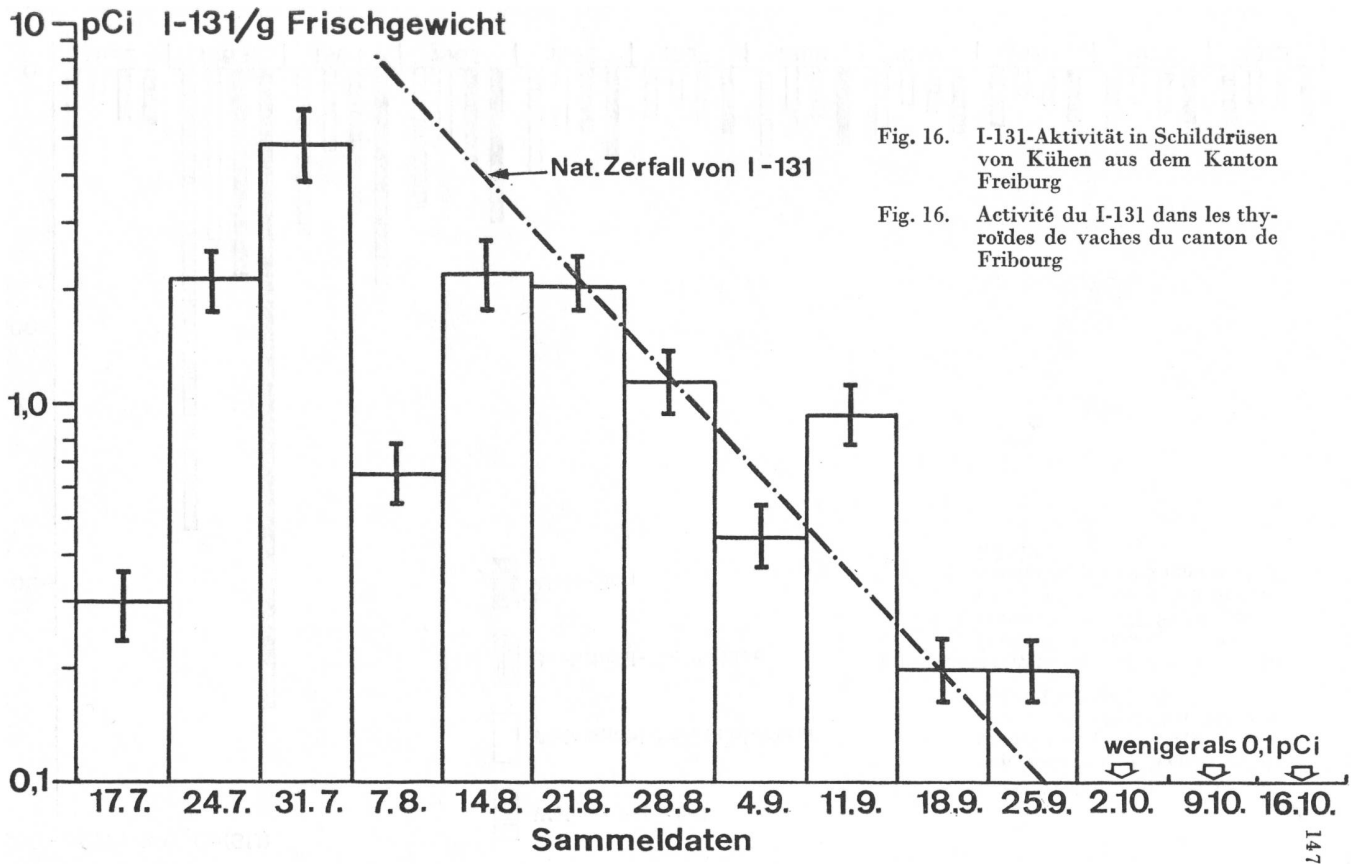
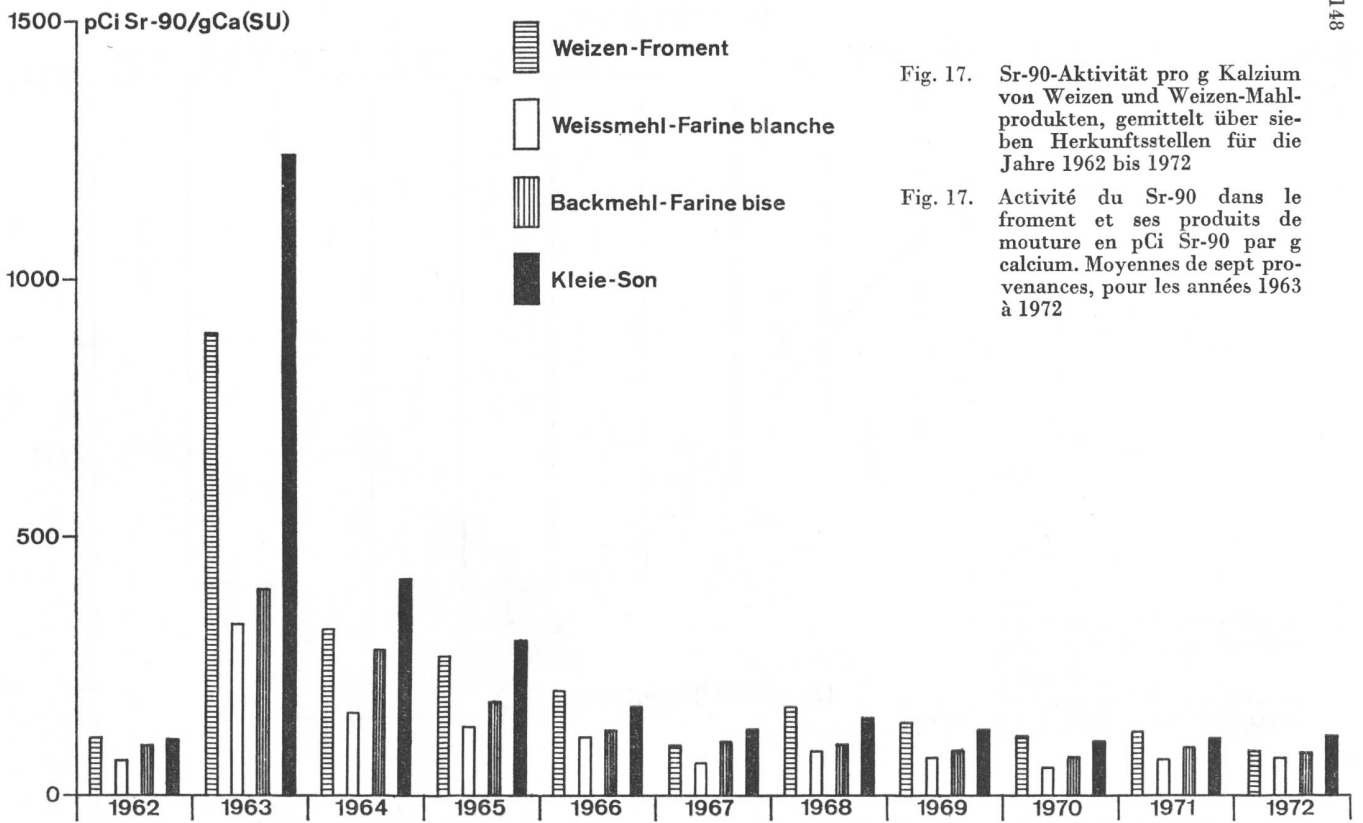


Fig. 15. Sr-90-Aktivität von Trockenmilch aus dem Kanton Waadt, 1956 bis 1973. Angaben in pCi/l Frischmilch

Fig. 15. Activité du Sr-90 dans le lait en poudre du canton de Vaud pour les années 1956 à 1973. Données en pCi/l lait frais





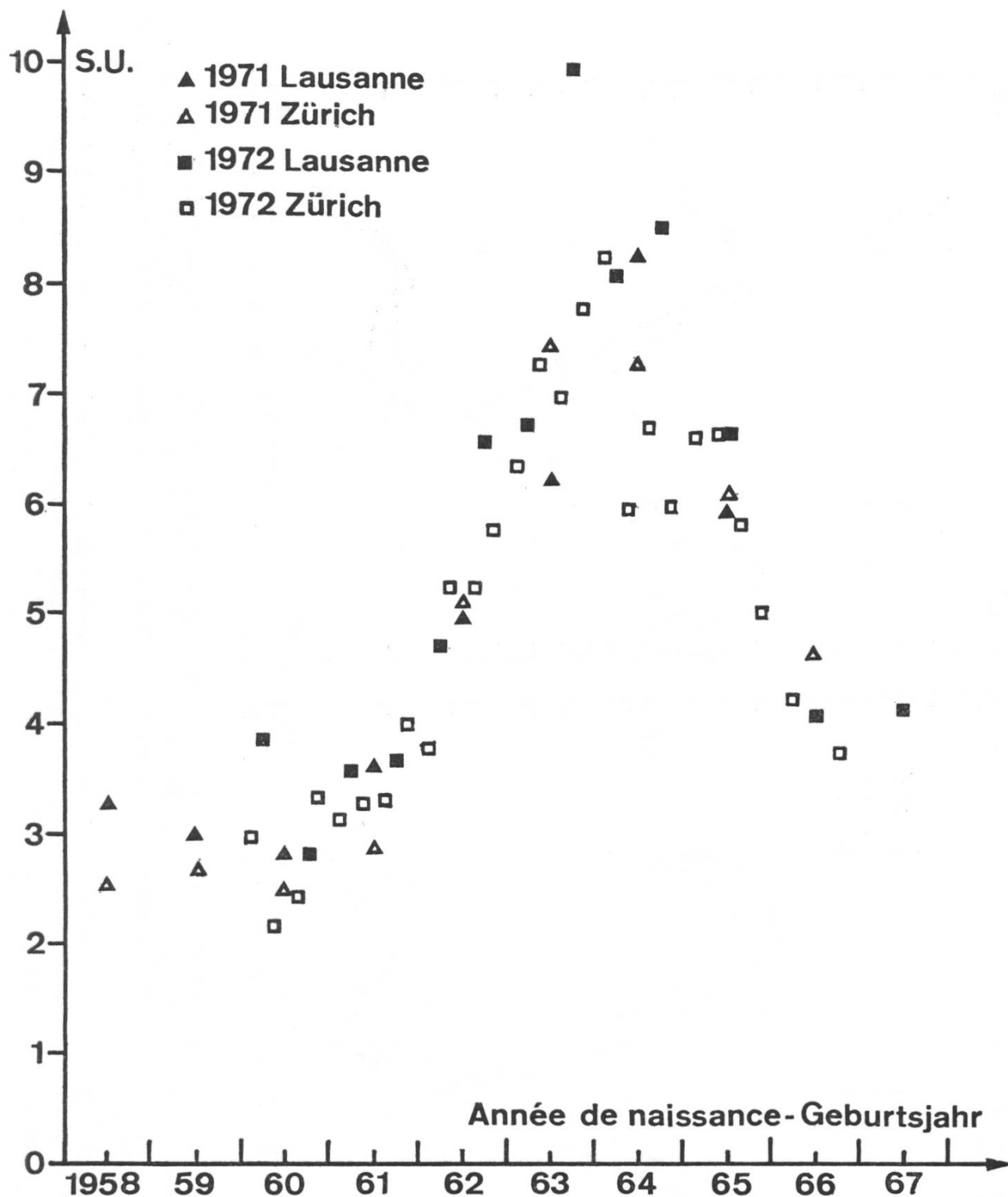


Fig. 18. Sr-90-Aktivität in Milchzähnen, Sammlungen Lausanne und Zürich 1971 und 1972, in Strontium-Einheiten

Fig. 18. Activité du Sr-90 dans les dents de lait, prélevées à Lausanne et Zurich 1971 et 1972, en unités de strontium

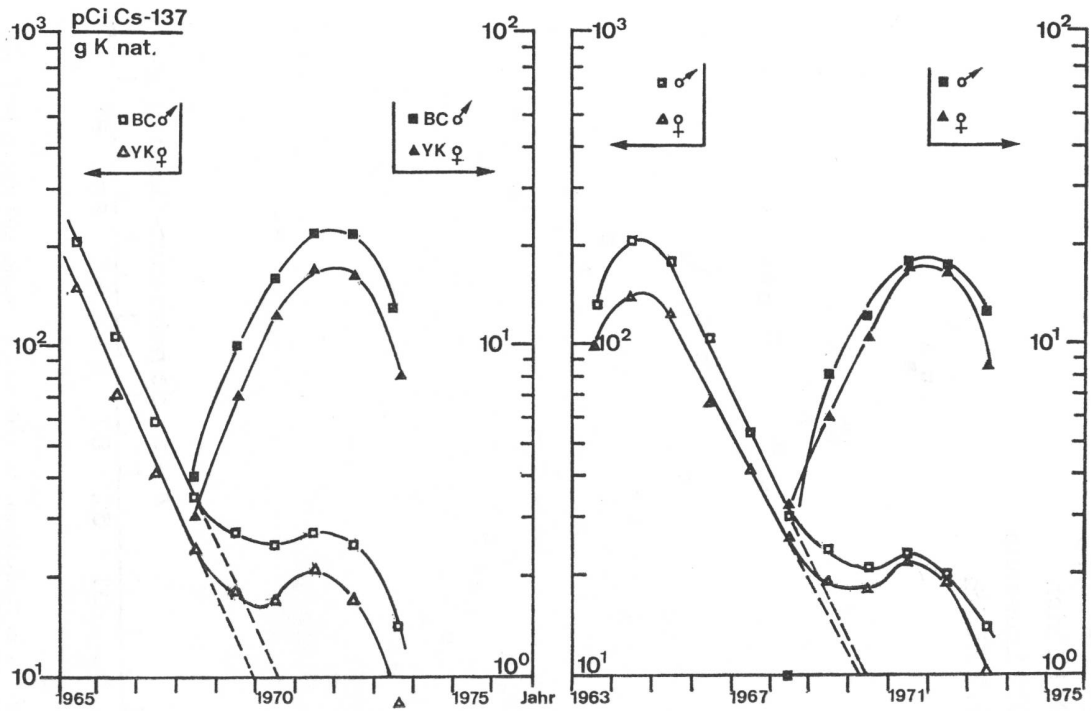


Fig. 19. Jahresmittelwerte des Cs-137-Gehaltes im menschlichen Körper, Messungen am Ganzkörperzähler Genf
 Figur links: Einzelpersonen; Figur rechts: Durchschnittswerte von Männern und Frauen. Leere Zeichen (Skala links): totale Cs-137-Aktivität; volle Zeichen (Skala rechts): Differenz zwischen totaler Cs-137-Aktivität und Restaktivität aus den Jahren 1962 bis 1964

Fig. 19. Moyennes annuelles de l'activité du Cs-137 dans le corps humain, mesurées à l'anthropo-spectromètre de Genève
 Figure à gauche: personnes individuelles; figure à droite: valeurs moyennes des hommes et des femmes. Signes vides (échelle à gauche): activité totale du Cs-137; signes pleins (échelle à droite): différence entre activité totale du Cs-137 et activité restante des années 1962 à 1964